

(197)

連鉄鉄型内における潤滑状態

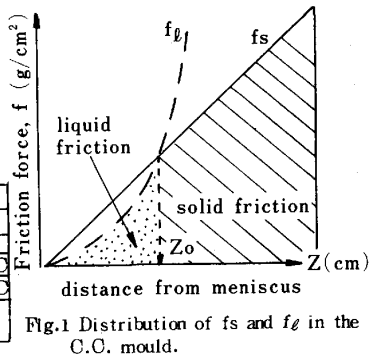
(連続鉄造の鉄型 / 鉄片間潤滑 - IV)

日本钢管(株)中央研究所 ○水上秀昭 北川 融 尾関昭矢
工博 川上公成

1 : 緒 言 前報¹⁾の鉄型 / 鉄片間の潤滑に関する解析においては、メニスカスからの任意の位置で固体摩擦力(f_s)と液体摩擦力(f_ℓ)を計算し、小さい方の値をもってその位置における鉄型 / 鉄片間の摩擦力とした。 f_s と f_ℓ の鉄型内高さ方向の分布を模式的に示すと Fig.1 に示すようであった。すなわち Z_0 より上方では液体潤滑が、また下方では固体潤滑が支配的であると推定され、 Z_0 の位置は操業条件により変化すると思われた。本報では 5 TON 試験連鉄機²⁾を用いて鉄型 / 鉄片間の摩擦力を測定し鉄型内での潤滑機構について検討した結果を述べる。

2 : 実験方法 Table 1 に主な鉄造条件を示した。メニスカスレベルを変更 ($L = 750 \sim 500 \text{ mm}$) することにより Fig.1 の固体摩擦領域を変化させた。また鉄型パウダーの物性(軟化温度、粘性)を変えることにより液体潤滑領域、固体潤滑領域の占める割合を変化させた。Table 1. Casting conditions.

steel grade	0.06% C, sheet grade
casting speed	0.8 m/min
oscillation	±4 mm, 100 cpm
mould powder	A $T_f = 1060^\circ\text{C}$, 3.2 poise at 1300°C B $T_f = 860^\circ\text{C}$, 1.0 poise at 1300°C
mould effective length, L	750 mm, 600 mm, 500 mm

Fig.1 Distribution of f_s and f_ℓ in the C.C. mould.

付けたロードセルで測定し、前報での解析結果と比較した。

3 : 実験結果および考察 上記鉄造条件における鉄型 / 鉄片間の固体摩擦力、 f_s 、ポジティブストリップ時およびネガティブストリップ時の液体摩擦力の最大値、 $f_{\ell(P)}$ 、 $f_{\ell(N)}$ をそれぞれ前報の解析モデルで計算し、鉄型内高さ方向での分布を Fig.2 に示した。低軟化点、低粘性パウダーの使用により $f_{\ell(P)}$ 、 $f_{\ell(N)}$ は減少し、液体潤滑領域が増大することがわかる。また、ポジティブストリップ時とネガティブストリップ時の鉄型 / 鉄片間の相対速度の違いにより $f_{\ell(P)} > f_{\ell(N)}$ となり、ネガティブストリップ時の方が液体潤滑領域が広い。またメニスカスレベルを下げて鉄型有効長を短くすると(図中① → ② → ③) 相対的に液体潤滑領域は増加する。Fig.3 には Fig.2 に示した単位面積当たりの摩擦力、 f (g/cm^2) を鉄型内で積分し実測値、 $F(\text{kg})$ と比較した結果を示す。 $F_{(P)}$ 、 $F_{(N)}$ はそれぞれポジティブストリップ時、ネガティブストリップ時の Total の摩擦力である。実測値と計算値はよく一致し、前報の解析モデルの妥当性が確認できた。

4. 結 論 鉄型内の潤滑機構を検討し、メニスカス直下においては液体潤滑が、また鉄型下部においては固体潤滑が支配的であると推定された。さらに低軟化点パウダーの使用により液体潤滑領域が増加すると推定された。

(文献) 1) 水上、北川、川上; 鉄と鋼 70(1984)S151

2) 水上、小松、北川、内堀、宮野; 鉄と鋼 69(1983)S1032

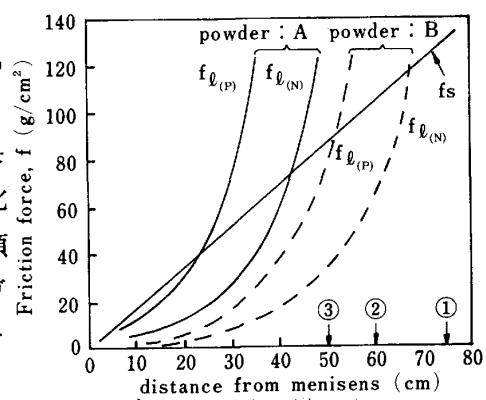
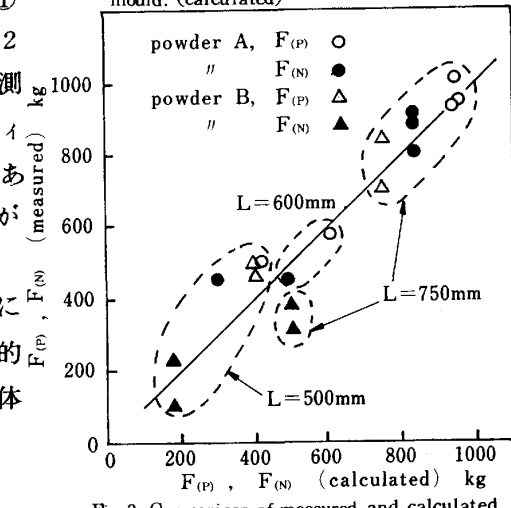
Fig.2 Distribution of $f_{\ell(P)}$, $f_{\ell(N)}$ and f_s in the mould. (calculated)

Fig.3 Comparison of measured and calculated values of friction force.